

# НЕМАГНИТНЫЙ СПИНОВЫЙ ПОЛЯРОН В ОБОБЩЕННОЙ МОДЕЛИ ХАББАРДА ДЛЯ $\text{CuO}_2$ ПЛОСКОСТЕЙ

Л.И.Глазман, А.С.Иоселевич

Исследованы состояния дополнительной частицы в обобщенной модели Хаббарда, эквивалентной кондо-решетке со спин-зависящими амплитудами межузельных переходов. Дырка формирует связанные комплексы со спинами решетки, основное состояние существенно отличается от магнитного полярона, формируемого электроном.

Открытие высокотемпературной сверхпроводимости возродило интерес к моделям с сильным кулоновским взаимодействием, которое, возможно, определяет и магнитные, и сверхпроводящие свойства купритов<sup>1</sup>. В нелегированном куприте ионы меди находятся в состоянии  $\text{Cu}^{2+}$  (одна дырка в  $d$ -оболочке), а  $p$ -оболочка О полностью заполнена. Предположение о том, что наименее энергии дополнительной дырки отвечает состояние  $\text{Cu}^{3+}$ , приводит к обычной модели Хаббарда на квадратной решетке Cu. В этой модели при сильном кулоновском отталкивании  $U_d$  дырка образует насыщенный ферромагнитный полярон<sup>2</sup>. Такой полярон, сильно увеличивающий эффективный спин носителя, не наблюдается в купритах. Попытки объяснения этого предполагали, что реальные значения  $U_d$  недостаточно велики<sup>1,3</sup>.

В другой модели, описывающей  $\text{CuO}_2$  плоскости – модели Эмери<sup>4</sup>, дополнительной дырке отвечает наименее состояние  $\text{O}^-$ . Мы покажем, что в этой модели ферромагнитный полярон не является основным состоянием дополнительной дырки даже при  $U_d \rightarrow \infty$ .

В модели Эмери гамильтониан дырок имеет вид

$$\begin{aligned} \mathcal{H}_0 = & -\epsilon \sum d_{j\sigma}^+ d_{j\sigma} + U_d \sum d_{j\uparrow}^+ d_{j\uparrow} d_{j\downarrow}^+ d_{j\downarrow} + U_p \sum a_{i\uparrow}^+ a_{i\uparrow} a_{i\downarrow}^+ a_{i\downarrow} + \\ & + t_{pd} \sum_{\langle ij \rangle} (d_{j\sigma}^+ a_{i\sigma} + a_{i\sigma}^+ d_{j\sigma}), \end{aligned} \quad (1)$$

где  $d_{j\sigma}^+$ ,  $a_{i\sigma}^+$  – операторы рождения дырки в оболочках Cu и O,  $\epsilon = \epsilon_p - \epsilon_d > 0$ ;  $\epsilon_p$ ,  $U_p$ ;  $\epsilon_d$ ,  $U_d$  – одночастичные и хаббардовские энергии на узлах O и Cu. Энергия отсчитывается от уровня  $\epsilon_p$ . Основное предположение модели заключается в неравенстве  $\epsilon < U_d$ .

Мы пренебрежем отталкиванием  $U_p$ , а величину  $t_{pd}$  энергии  $p-d$ -гибридизации будем считать малой:  $U_p, t_{pd} \ll \epsilon \ll U_d$ . Для дополнительной дырки путем унитарного преобразования<sup>5</sup> из (1) получим новый гамильтониан<sup>1)</sup>  $\mathcal{H} = \mathcal{H}_h + \mathcal{H}_{ex}$ :

$$\mathcal{H}_h = t \sum_{\langle i_1 i_2 \rangle} a_{i_1 \sigma_1}^+ (2S_j \sigma + 1/2) a_{i_2 \sigma_2}, \quad \mathcal{H}_{ex} = J \sum_{\langle j_1 j_2 \rangle} S_{j_1} S_{j_2}, \quad (2)$$

эквивалентный  $\mathcal{H}_0$  с точностью до  $(t_{pd}/\epsilon)^4$ . Гамильтониан  $\mathcal{H}_{ex}$  с  $J \sim t_{pd}^4/\epsilon^3 > 0$  отвечает супербмену спинов  $S_j$  ближайших ионов Cu. Ниже, как и в<sup>2</sup>, мы исследуем дырочный гамильтониан  $\mathcal{H}_h$ , т. к.  $t \sim t_{pd}^2/\epsilon \gg J$ . Узлы  $i_1, i_2$ , между которыми возможны переходы, показаны на рис. 1. Принципиальное отличие дырочного гамильтониана (2) от эффективного гамильтониана для дополнительной частицы в обычной модели Хаббарда<sup>6</sup>, состоит в том, что возможные движения дырки ограничиваются оператором  $2S\sigma + 1/2$ , а не гуц-

<sup>1)</sup> При  $\epsilon > U_d$  гамильтониан (1) сводится к стандартной модели Хаббарда. Если  $U_p > \epsilon$ , то подавляются  $\mathcal{H}_{ex}$  и слагаемое с  $i_1 = i_2$  в  $\mathcal{H}_h$ .

виллеровским проектором. Рассматриваемая система отличается и от обычной кондо-решетки (где также есть магнитные поляроны <sup>7</sup>), т. к. в (2) от спинов зависят и одноузельные энергии, и амплитуды перескоков.

Состояние гамильтониана  $\mathcal{H}_h$  можно характеризовать полным спином  $S = S_{max} - m$ ,  $m \geq 0$ , его проекцией  $S_z$  и волновым вектором  $\mathbf{k}$ . Минимальную энергию, отвечающую данному  $m$ , обозначим  $E_m$ . Мы покажем, что в бесконечной решетке для любого конечного  $m$  справедливо строгое неравенство  $E_{m+1} < E_m$ .

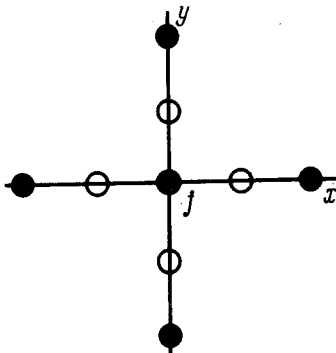


Рис. 1

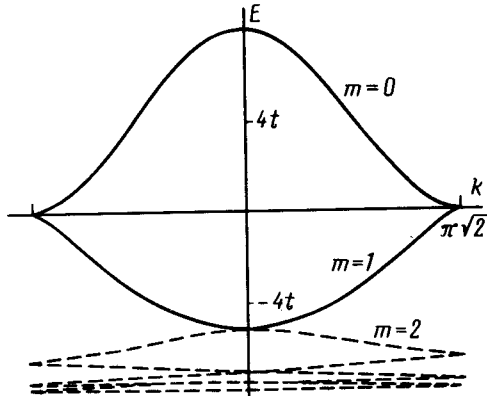


Рис. 2

Рис. 1. Фрагмент решетки CuO<sub>2</sub>: ● – Cu, ○ – O. При заданном  $j$  узлами  $i_1, i_2$  в  $\langle j_1 j_2 \rangle$  может быть любая пара из показанных узлов O, включая совпадающие ( $i_1 = i_2$ ). Постоянная решетки  $a_0 = 1$

Рис. 2. Закон дисперсии  $E_m(k)$  для  $k$  в направлении [11]. Пунктиром показан предполагаемый вид  $E_m(k)$  для  $m \geq 2$ . Аналогично выглядит  $E_m(k)$  и в одномерном случае

Ферромагнитному состоянию отвечает  $m = 0$  и собственная функция вида  $\psi_0(i)$ ;  $i$  – положение дырки (со спином вверх). Соответствующий закон дисперсии имеет две ветви:  $E_0^{(1)}(k) \equiv 0$ ,  $E_0^{(2)}(k) = 4t(1 + 1/2 \cos k_x + 1/2 \cos k_y)$ , рис. 2. Собственные функции с  $m > 0$  имеют две компоненты:  $\varphi_m(i, j_1 \dots j_{m-1})$  и  $\psi_m(i, j_1 \dots j_m)$ , где  $i$  в функции  $\varphi_m$  – координата дырки со спином вниз, а в  $\psi_m$  – со спином вверх;  $j_l$  – координаты "магнонов" – перевернутых спинов Cu. Для определения  $E_m(k)$  воспользуемся "одноплакетным" приближением (ОПП), которому отвечает вариационная функция  $\psi_m(i, j_1 \dots j_m)$  обращающаяся в ноль, если  $i$  не является соседом хотя бы одного из  $j_l$ . Для  $m = 1$  в ОПП легко вычислить низшую ветвь  $E_1(k) = t \{ 0,5 - [1/6, 25 + 8(\cos k_x + \cos k_y)]^{1/2} \}$ ; значение  $E_1 = -5,18t$  достигается в центре зоны<sup>2</sup>. В точке  $k_x = k_y = \pi$  ветви  $E_0(k)$  и  $E_1(k)$  смыкаются. Найденный "1-комплекс" отвечает связанному состоянию дырки и одного магнона. Есть ли связанные  $m$ -комплексы с  $m \geq 2$ ?

Убедимся в существовании 2-комплекса. В рамках ОПП уравнения для  $\psi_2(ij_1j_2)$  при  $r = |(j_1 - j_2)_x| + |(j_1 - j_2)_y| \geq 3$  описывают неподвижный магнон и невзаимодействующий с ним 1-комплекс. Границные условия для этих уравнений следуют из решения уравнения Шредингера при  $r < 3$ . Сулим класс функций ОПП, полагая  $\psi_2(ij_1j_2) = e^{ik\cdot k} \chi(r)$  для  $r \geq 3$ , где  $\vec{j}$  – тот из узлов  $j_1, j_2$ , рядом с которым нет дырки. Границные условия задают связь  $\chi(2)/\chi(3) = 1 + v(E, k)$ . Связанный 2-комплекс возникает, если  $v(E_1, k) > 0$ . Вычисления при малых  $k$  показывают, что  $v(E_1, k) \approx -0,022 + 0,058k^2$  и  $v > 0$  уже при  $k \geq k^* = 0,2\pi$ . Малое

<sup>2</sup>) Учет  $\psi_1(ij) \neq 0$  на следующей координационной сфере понижает найденное значение  $E_1$  на  $0,15t$ .

значение  $v(E_1, 0)$ , по-видимому, указывает на то, что в точном решении  $E_1(k)$  и  $E_2(k)$  касаются в точке  $k = 0$  (рис. 2). Сделанные приближения не позволяют найти наибольшую энергию связи 2-комплекса  $\delta_2 = E_1 - E_2$  и соответствующее значение  $k = k_0$ . Однако нам важен сам факт существования связанных состояний. Выход за рамки ОПП понижает  $E_1$  и  $E_2$ , но 2-комплекс остается связанным. Действительно, пусть при улучшении вариационной функции радиус 2-комплекса  $r_2 \rightarrow \infty$  и  $\delta_2 \rightarrow 0$ . Тогда выделим некоторую область  $r$  с радиусом  $r^* \ll r_2$  и вернемся в ней к ОПП. Это, во-первых, не изменит части сдвига энергии  $E_2$ , которая формируется областью  $r \sim r_2$  и совпадает со сдвигом  $E_1$  и, во-вторых, вернет нас к старому граничному условию. Последнее условие отвечает конечной величине  $r_2$ , что противоречит предположению  $r_2 \rightarrow \infty$ , т. е. найденные в ОПП 2-комплексы есть и в точном решении,  $\delta_2 > 0$ .

Докажем существование комплексов с  $m > 2$ . В ОПП 2-комплекс слабо связан и эквивалентен частице (1-комплекс) в поле точечного притягивающего центра (магнон). Радиус 3-комплекса  $r_3$  определяется связью частицы с двумя центрами, расстояние между которыми  $r$ . Взаимодействие частицы с двумя точечными потенциалами приводит к граничному условию  $\ln r_3 + \ln r_3/r = [v(k)]^{-1}$ . Для оценки  $r$  и  $r_3$  учтем, что центры делокализованы за счет взаимодействия с частицей и  $k - k_0 \sim r^{-1}$ . Разлагая  $v(k)$  при  $k \rightarrow k_0$ , получим  $v(k) = v(k_0)(1 - c(k - k_0)^2)$ ,  $v(k_0) \sim (\ln r_2)^{-1}$ ,  $c \sim 1$ , откуда  $r \sim (\ln r_2)^{1/2}$ ,  $r_3 \sim (r_2)^{1/2}$ ,  $E_2 = -E_3 \sim (t\delta_2/\ln r_2)^{1/2}$ . Аналогичные рассуждения позволяют увидеть, что существуют комплексы с произвольными  $m$ , причем факт их существования сохраняется при выходе за рамки ОПП. При  $m \geq 1$  энергию комплекса можно оценить с помощью метода когерентного потенциала:  $E_2 - E_m \sim t/\ln r_2$ , средние расстояния между магнонами  $r \sim 1$ , т. е. их плотность  $\rho$  конечна, и  $S = (1 - 2\rho)S_{max}$ . Проведенные рассуждения не позволяют для основного состояния сделать выбор между синглетом ( $\rho = 1/2$ ) и насыщенным ферромагнетиком ( $0 < \rho < 1/2$ ).

Выясненные нами свойства  $m$ -комплексов в планарной модели  $\text{CuO}_2$  остаются в силе и для одномерной цепи чередующихся узлов Cu – O. В частности, законы дисперсии 0-, 1- и 2-комплексов качественно сходны для  $D = 1$  и  $D = 2$ . При  $D = 1$  легко получить, что  $E_0(k) = 2t(1 + \cos k)$ ,  $E_1(k)$  – наименьший уровень уравнения  $E^3 - 8tE^2 \cos^2(k/2) + 64t^3 \cos^4(k/2) = 0$ ,  $E_1 = -2t(\sqrt{5} - 1) = -2,47t$ . ОПП для 2-комплекса в нечетном состоянии при  $k = \pi$  дает  $E_2 \approx -2,65t$ . Справедливо общее утверждение:  $E_m$  достигается при  $k = 0$  для нечетных  $m$ , и при  $k = \pi$  для четных. Неелевское состояние является невыгодным. Однако состояние дырки, связанной с доменной границей в неелевской цепочке, имеет энергию  $E \approx -2,85t < E_2$ .

Итак, спиновое состояние, формируемое дыркой в двумерной модели Эмери, сильно отличается и от насыщенного ферромагнитного полярона, и от неелевского состояния (вариационная оценка энергии последнего  $E_N = -4,36t > E_1$ ). Можно строго утверждать, что полный спин  $S$  основного состояния макроскопически меньше  $S_{max}$ . Отличие от насыщенного полярона возникает и в обычной модели Хаббарда, но только на неальтернирующей решетке<sup>2</sup>, причем наилучшему из регулярных расположений спинов в поляроне отвечает ненасыщенный ферромагнетик<sup>3</sup>. Его удельная намагниченность зависит от типа решетки. Напротив, в нашем случае отличие  $S$  от  $S_{max}$  есть для любой (в том числе и альтернирующей) решетки и обусловлено видом гамильтонiana  $\mathcal{H}_h$ . Можно предположить, что поэтому основное состояние дополнительной дырки также не зависит от типа решетки и является синглетным<sup>3</sup>). Если бы это предположение подтвердилось, то модель Эмери могла бы дать микроскопическую картину формирования бесспиновой дырки – холона<sup>10</sup>. В то же время дополнительный электрон в этой модели формирует обычный магнитный полярон.

<sup>3)</sup> Отметим, что при  $D = 1$  истинное основное состояние – заведомо синглетное<sup>8</sup>.

Из сообщения Г.В.Уймина нам стало известно, что независимо рассмотренная модель изучалась А.Ф.Барабановым, Л.А.Максимовым и Г.В.Уйминым. Мы благодарны им за обсуждение и А.Г.Аронову за полезное замечание.

### Литература

1. *Anderson P.W.*, *Science*, 1987, **235**, 1196.
2. *Nagaoka Y.* *Phys. Rev.*, 1966, **147**, 392.
3. *Takahashi J.* *Z. Phys. B*, 1987, **67**, 503.
4. *Emery V.J.* *Phys. Rev. Lett.*, 1987, **58**, 2794.
5. Займан Дж. Современная квантовая теория. М.: Мир, 1971.
6. *Harris A.B.*, *Lange R. V.* *Phys. Rev.*, 1967, **157**, 295.
7. Нагаев Э.Л. Физика магнитных полупроводников, М.: Наука, 1979.
8. *Lieb E.*, *Mattis D.* *Phys. Rev.*, 1962, **125**, 164.
9. Иорданский С.В., Смирнов А.В. *ЖЭТФ*, 1980, **79**, 1942.
10. *Anderson P.W.*, *Baskaran G.*, *Zou Z.*, *Hsu T.* *Phys. Rev. Lett.*, 1987, **58**, 2790.

Институт теоретической физики им. Л.Д.Ландау  
Академии наук СССР

Поступила в редакцию  
30 марта 1988 г.

Институт проблем технологии микроэлектроники  
и особочистых материалов  
Академии наук СССР